

Поля в полуволновом резонаторе

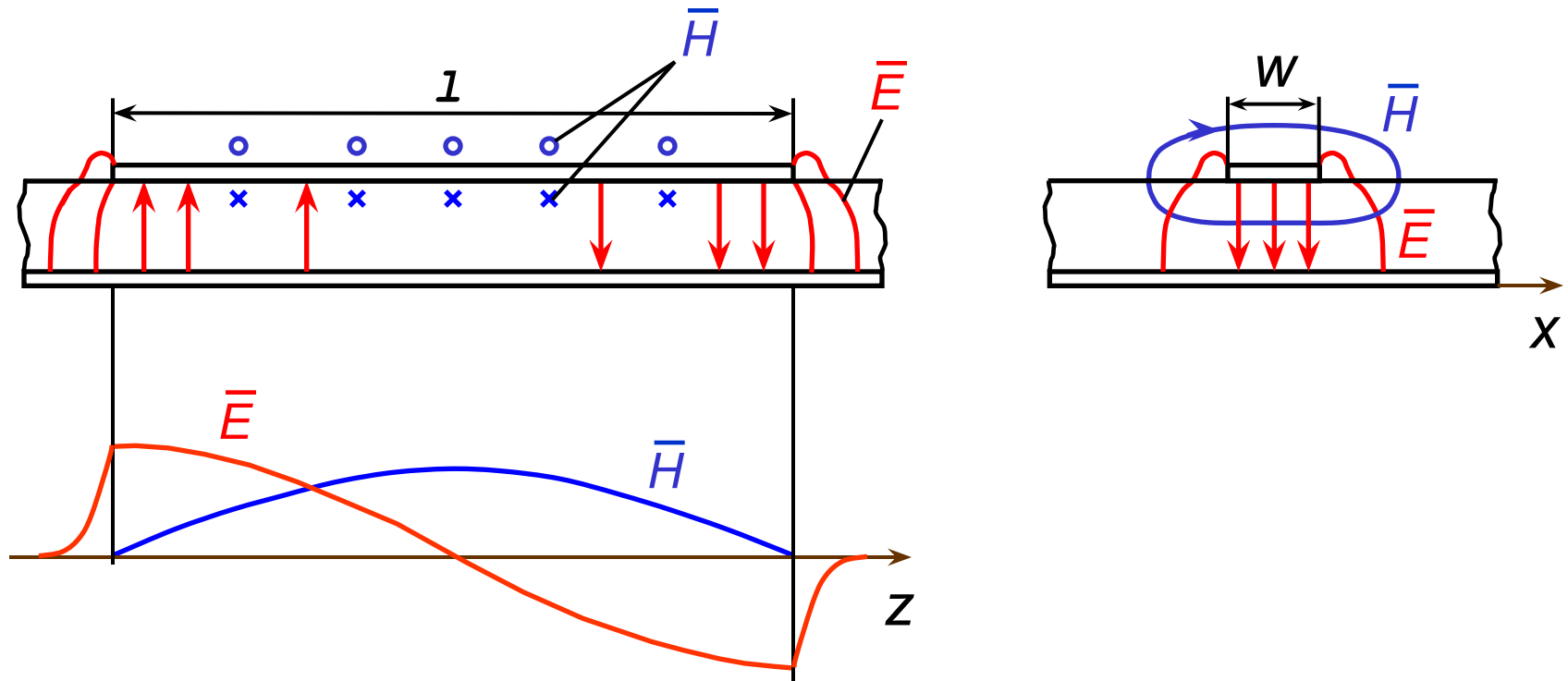


Рис. 111

Высший вид колебаний

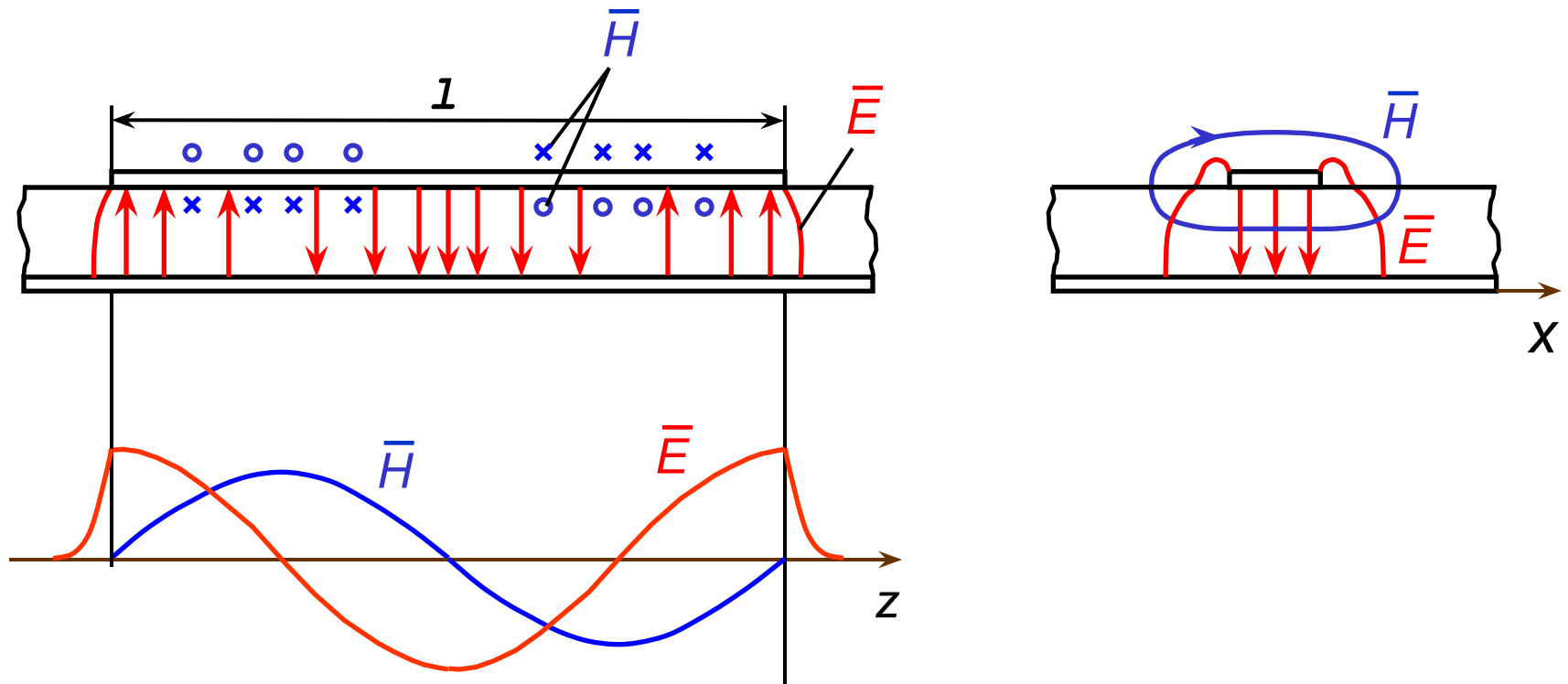


Рис. 112

Коаксиальный четвертьволновый резонатор

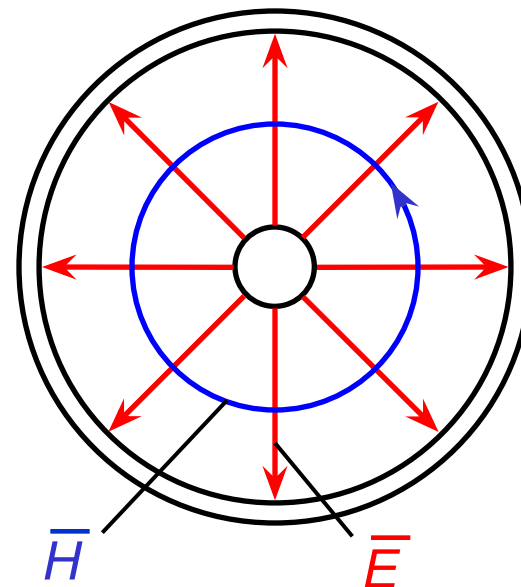
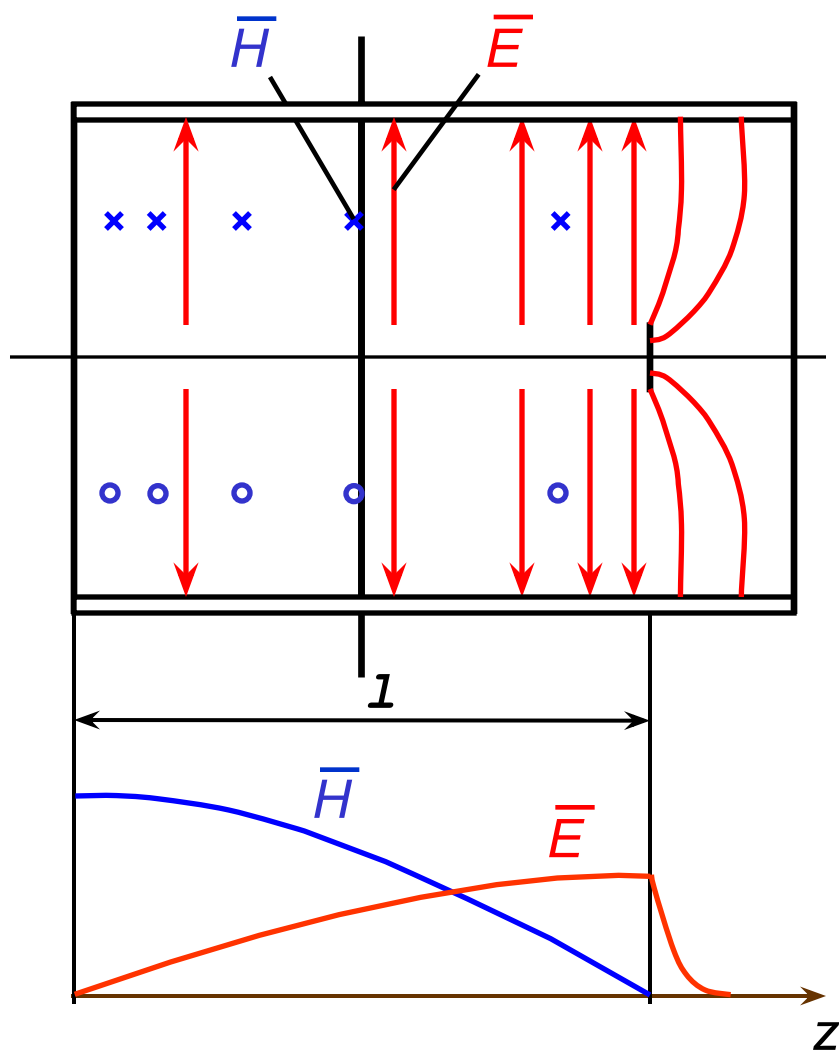


Рис. 113

Резонатор, нагруженный на емкость

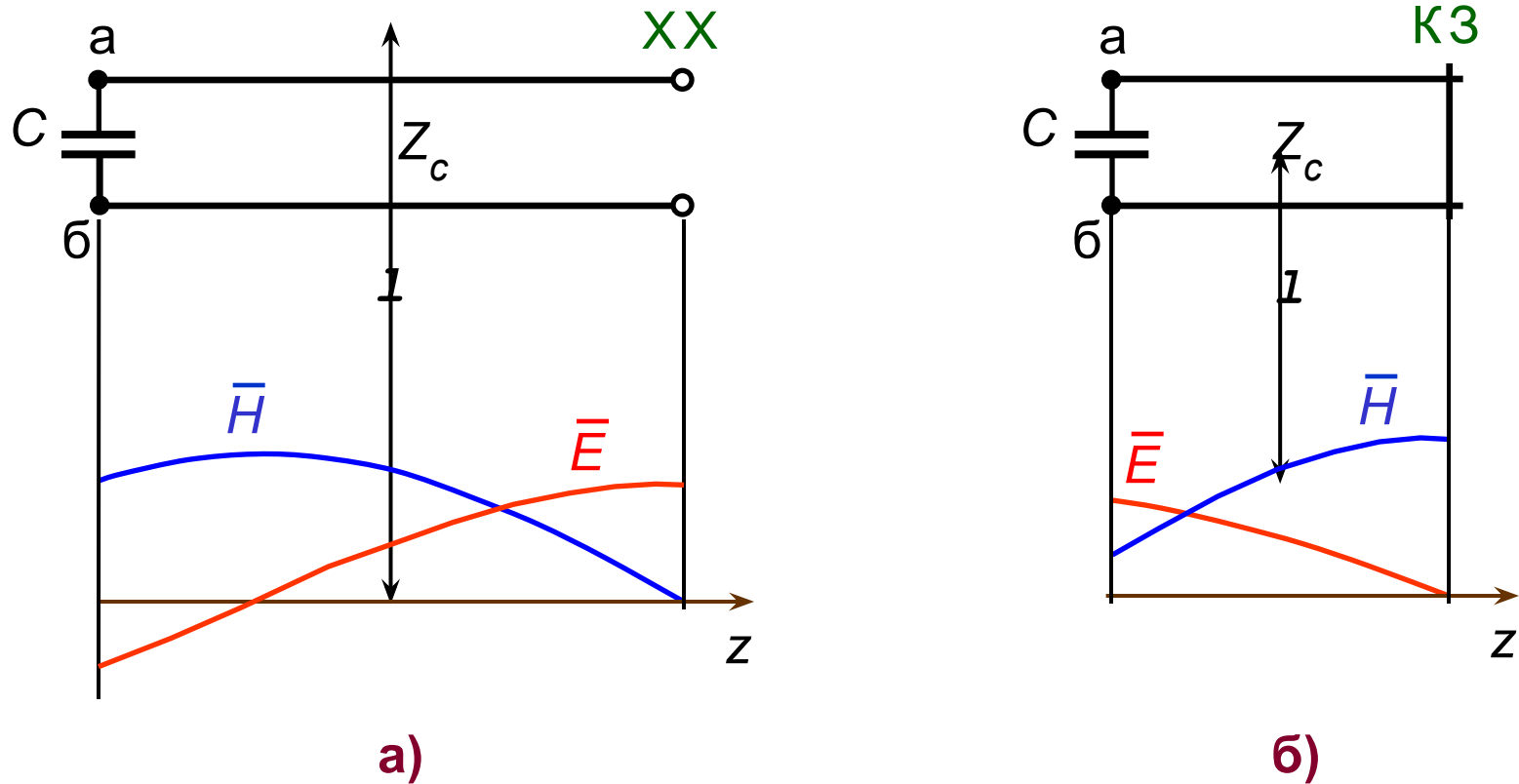


Рис. 114

$$\omega C + \frac{1}{Z_C} \operatorname{tg} \frac{2\pi l}{\lambda_B} = 0;$$

$$2\pi f_0 C + \frac{1}{Z_C} \operatorname{tg} \frac{2\pi l f_0 \sqrt{\varepsilon_{\text{эф}}}}{c} = 0$$

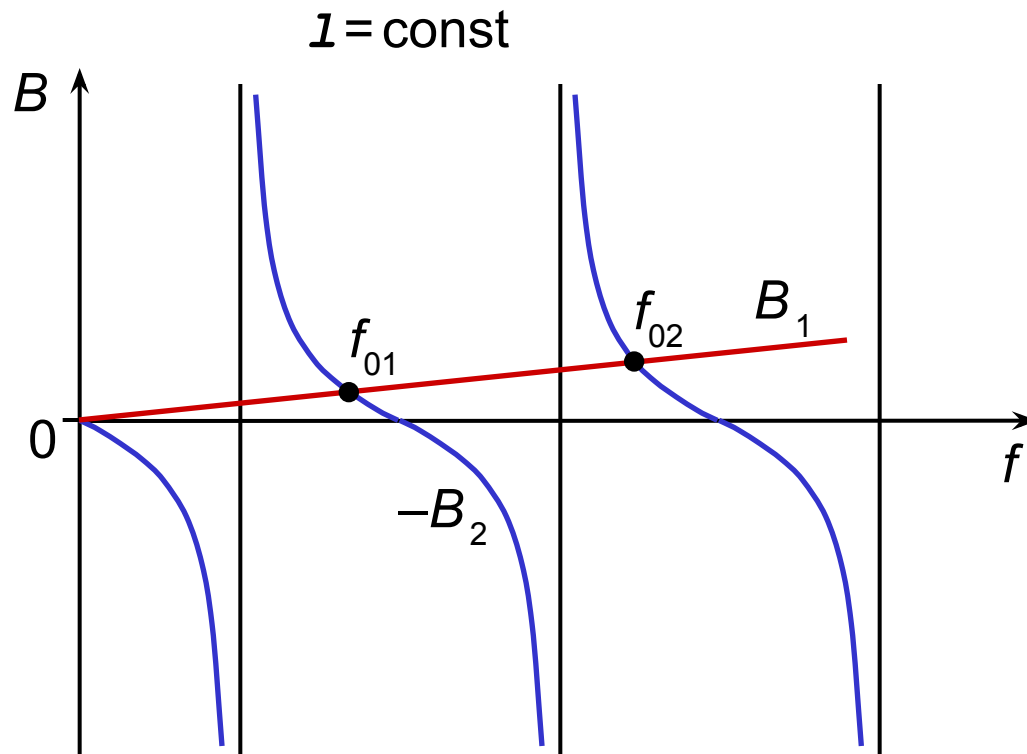


Рис. 115

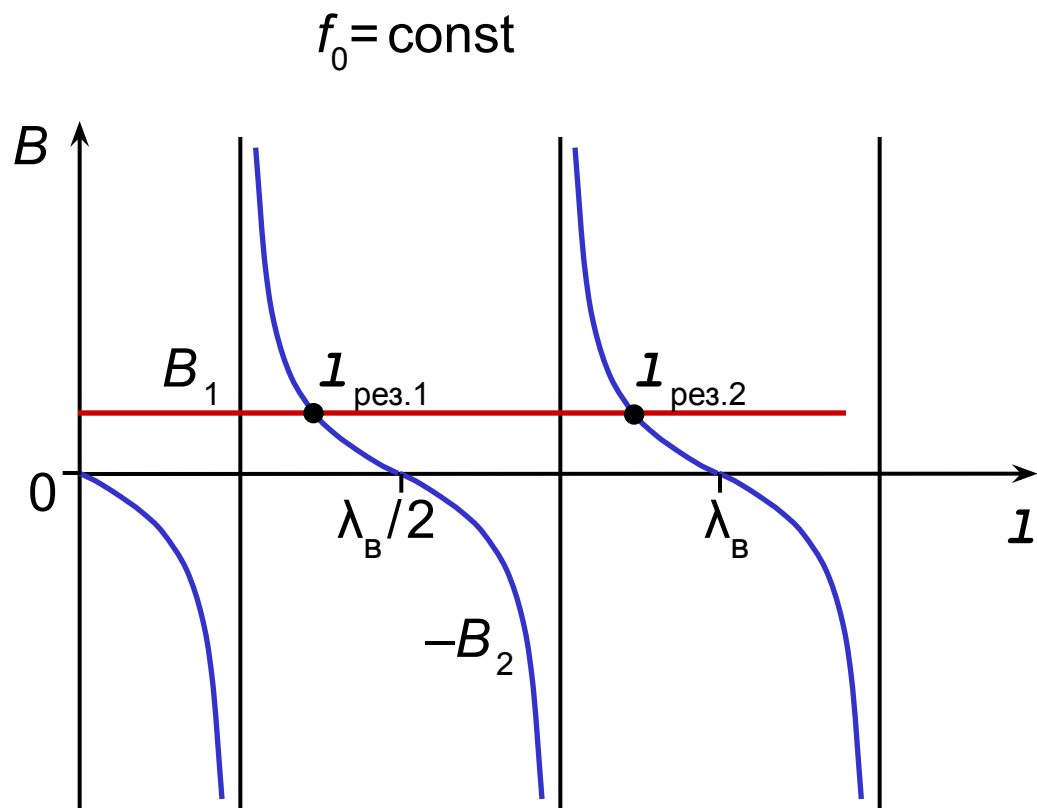


Рис. 116

Емкостная перестройка резонатора

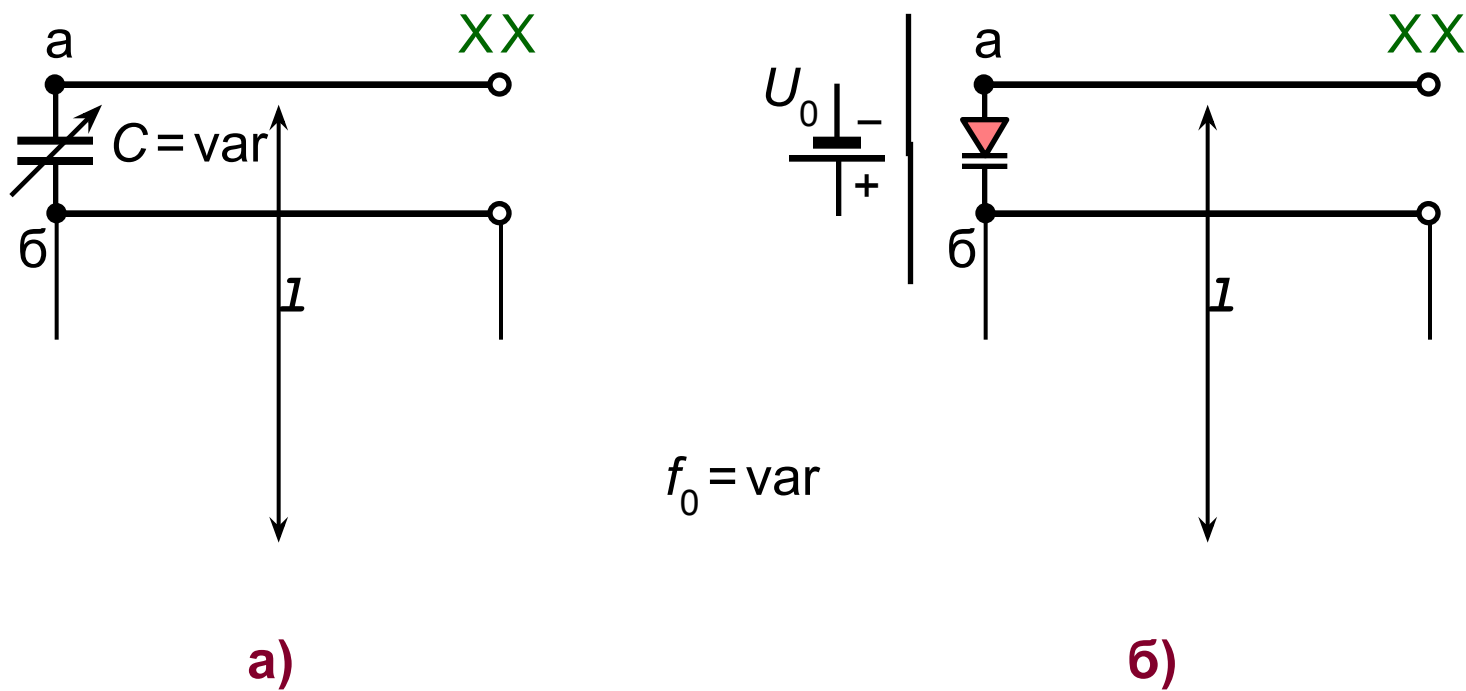


Рис. 117

Цилиндрический полуволновый резонатор. Волна E_{010}

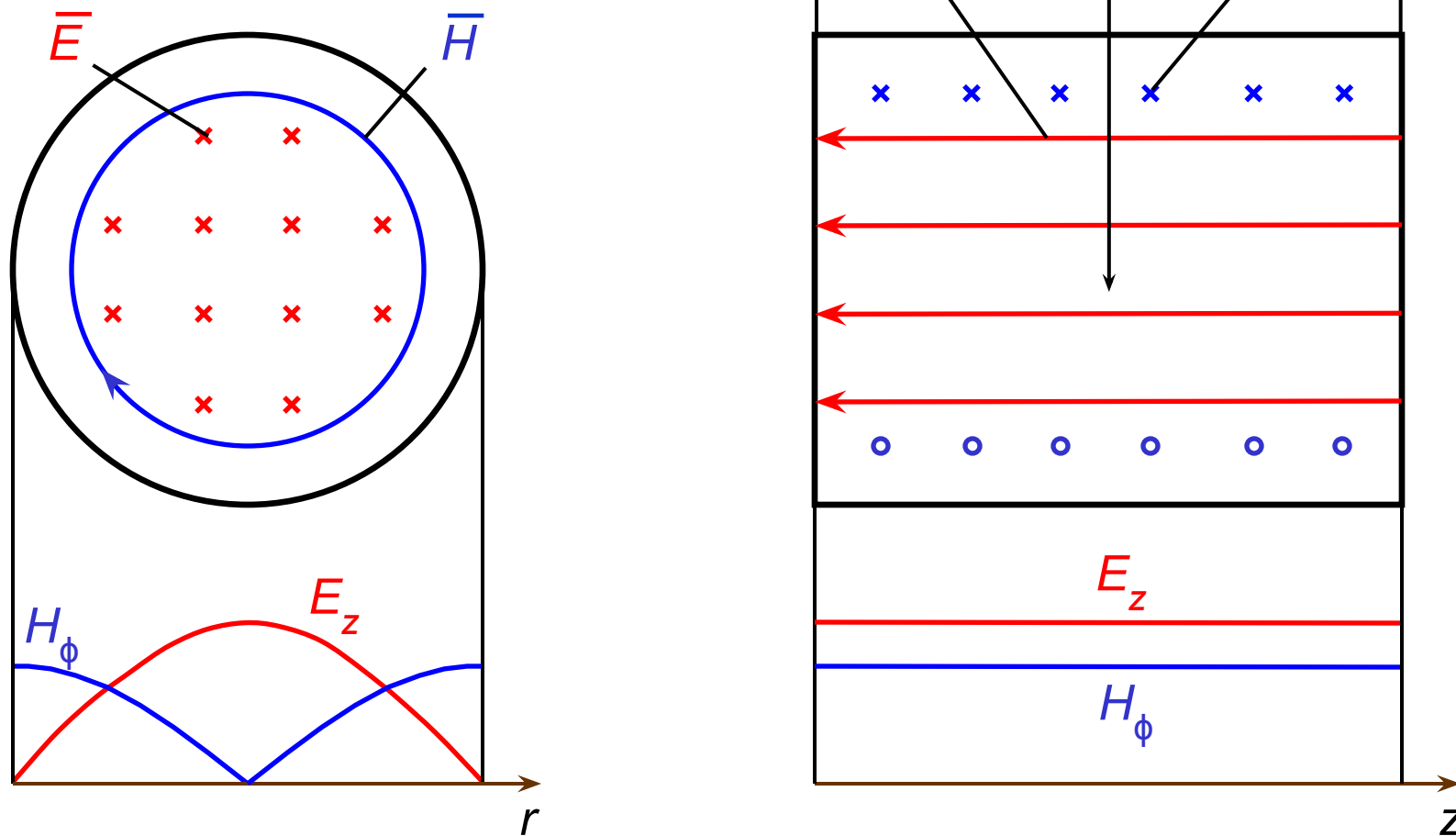
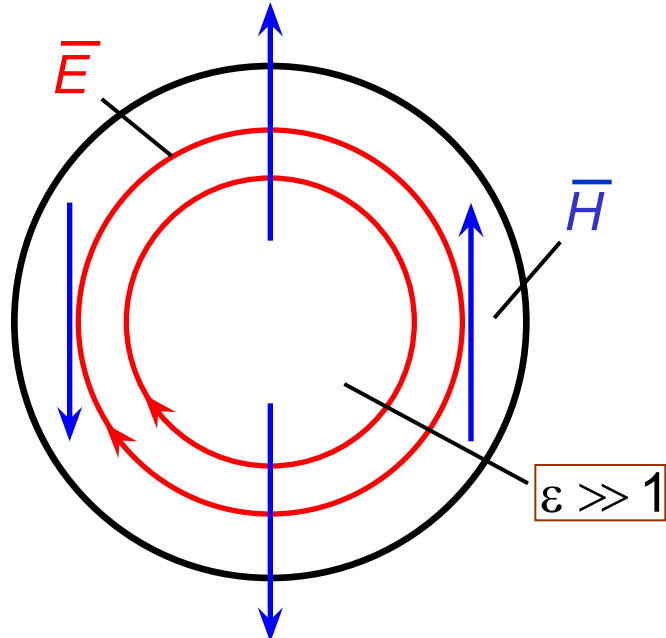


Рис. 118

Диэлектрический резонатор (ДР)



Вид колебаний $H_{01\delta}$

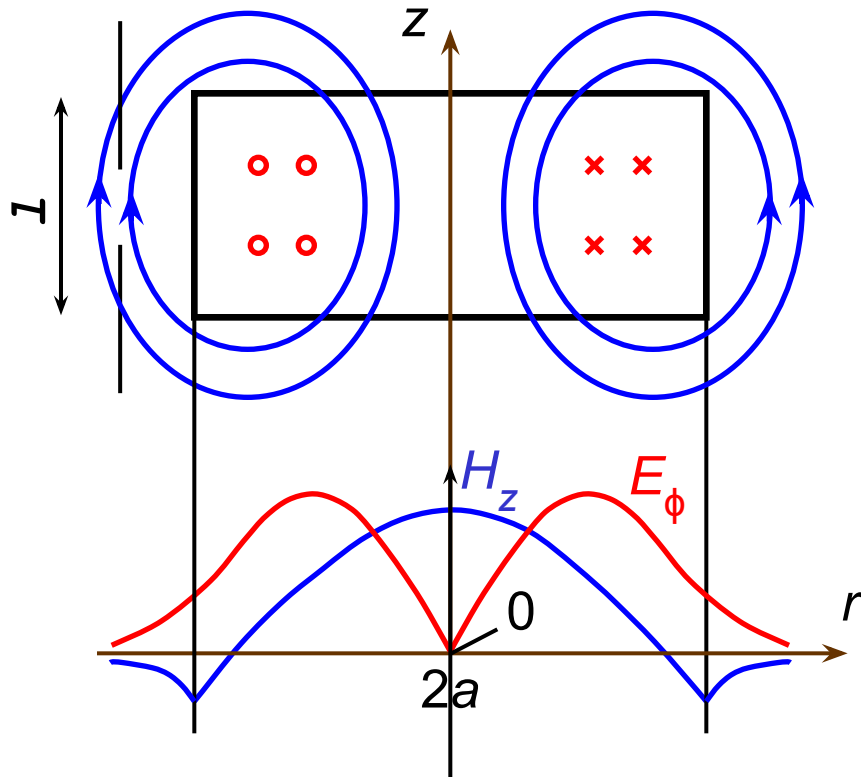
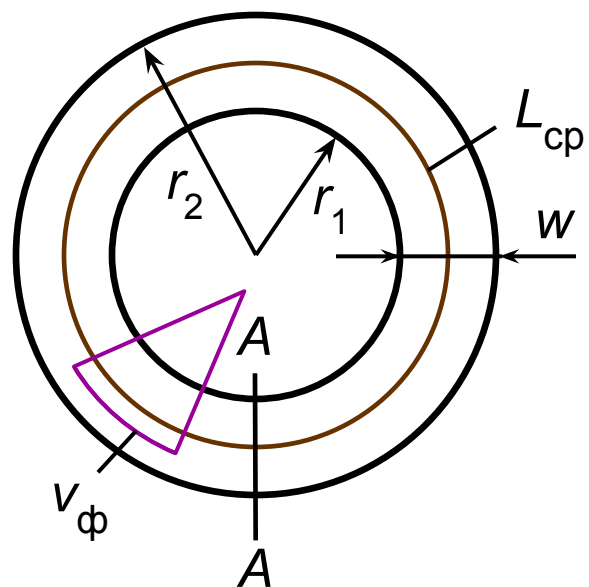
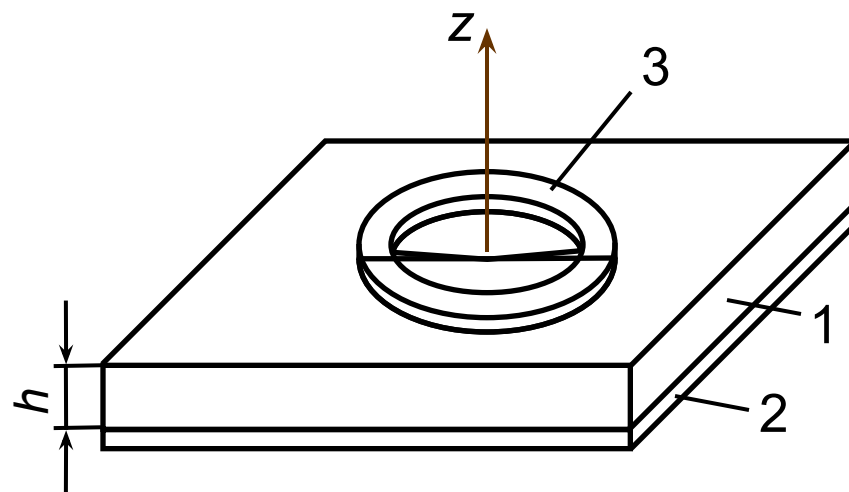


Рис. 119

Кольцевой резонатор на МПЛ



а)



б)

Рис. 120